

# 宮城県・福島県・茨城県沖における海域モニタリング(海底土)結果

Readings of Sea Area Monitoring at offshore of Miyagi, Fukushima and Ibaraki Prefecture -marine soil-

平成23年11月1日

Nov 1, 2011

文部科学省

Ministry of Education, Culture, Sports, Science and  
Technology (MEXT)

## 海底土の放射能濃度

Radioactivity concentration in marine soil

測定試料 採取点※1 Sampling Point※1	採水日時 Sampling Time and Date	緯度, 経度 Latitude, Longitude	深度 Depth	放射能濃度(Bq / kg・乾土) Radioactivity Concentration(Bq / kg・Dry Soil)		
				Cs-134	Cs-137	その他検出された核種 Other detected nuclides
【A1】	2011/9/15 10:03	38° 30.0' N, 141° 51.0' E	209m	6.8	8.4	
【A3】	2011/9/15 7:50	38° 30.1' N, 142° 05.0' E	495m	7.3	9.1	
【a1】	2011/9/15 12:40	38° 15.0' N, 141° 50.9' E	217m	9.5	12	
【B1】	2011/9/14 12:38	38° 05.1' N, 141° 15.4' E	45m	24	29	
【B3】	2011/9/14 14:56	38° 05.0' N, 141° 29.4' E	121m	420	490	Ag-110m: 1.5
【C1】	2011/9/14 9:21	37° 45.1' N, 141° 15.3' E	56m	21	21	
【C3】	2011/9/14 7:25	37° 45.0' N, 141° 29.4' E	137m	140	180	
【D1】	2011/9/13 13:34	37° 35.0' N, 141° 22.4' E	127m	130	170	
【D3】	2011/9/13 11:14	37° 35.0' N, 141° 36.4' E	228m	30	35	
【E1】	2011/9/11 13:56	37° 25.0' N, 141° 22.4' E	136m	120	150	Ag-110m: 2.7 Te-129: 48 Te-129m: 73
【E3】	2011/9/11 11:44	37° 25.0' N, 141° 36.4' E	238m	34	43	
【E5】	2011/9/13 7:58	37° 30.0' N, 142° 00.0' E	545m	7.4	9.6	
【F1】	2011/9/11 7:26	37° 15.0' N, 141° 22.4' E	145m	84	97	Ag-110m: 0.73 Te-129: 20 Sb-125: 3.6
【F3】	2011/9/11 9:36	37° 15.0' N, 141° 36.4' E	241m	41	50	Ag-110m: 0.27
【G0】	2011/9/10 7:28	37° 05.0' N, 141° 08.4' E	109m	170	200	Ag-110m: 1.5 Te-129: 29 Te-129m: 41 Sb-125: 3.9
【G1】	2011/9/10 8:59	37° 05.0' N, 141° 15.5' E	142m	43	52	Ag-110m: 0.35
【G3】	2011/9/10 11:10	37° 05.0' N, 141° 29.4' E	215m	31	38	
【G4】	2011/9/10 14:15	37° 00.0' N, 141° 45.0' E	675m	20	25	
【H1】	2011/9/9 12:59	36° 55.0' N, 141° 08.4' E	137m	59	72	Ag-110m: 0.41 Te-129: 8.5 Te-129m: 22
【H3】	2011/9/9 15:12	36° 55.0' N, 141° 22.4' E	238m	39	47	Ag-110m: 0.76 Te-129: 6.4
【I0】	2011/9/9 7:21	36° 45.0' N, 140° 53.0' E	74m	210	240	Ag-110m: 1.9 Te-129: 16 Te-129m: 29 Sb-125: 4.7
【I1】	2011/9/9 8:35	36° 45.0' N, 140° 57.0' E	101m	110	130	Ag-110m: 0.58
【I3】	2011/9/9 10:38	36° 45.0' N, 141° 11.1' E	192m	16	20	Sb-125: 0.80
【J1】	2011/9/8 7:21	36° 25.0' N, 140° 43.0' E	49m	440	520	Ag-110m: 3.9 Te-129: 37 Te-129m: 55 Nb-95: 2.5 Sb-125: 11
【J2】	2011/9/8 12:46	36° 25.1' N, 140° 57.0' E	297m	24	28	Ag-110m: 0.54 Sb-125: 1.2
【J3】	2011/9/8 15:54	36° 24.9' N, 141° 04.0' E	591m	28	34	
【K1】	2011/9/7 15:36	36° 04.1' N, 140° 43.1' E	33m	28	34	
【K2】	2011/9/7 13:29	36° 04.0' N, 140° 57.1' E	215m	18	21	
【L1】	2011/9/7 10:27	35° 45.0' N, 140° 57.0' E	44m	7.5	8.5	
【L3】	2011/9/7 8:04	35° 45.0' N, 141° 10.7' E	167m	11	14	

独立行政法人日本原子力研究開発機構が測定。

Radioactivity concentrations were measured JAEA.

※1 【 】内の番号は、図の測点番号に対応。

※1 The character enclosed in parentheses (Ex. 【A1】) indicates monitoring point in figure.

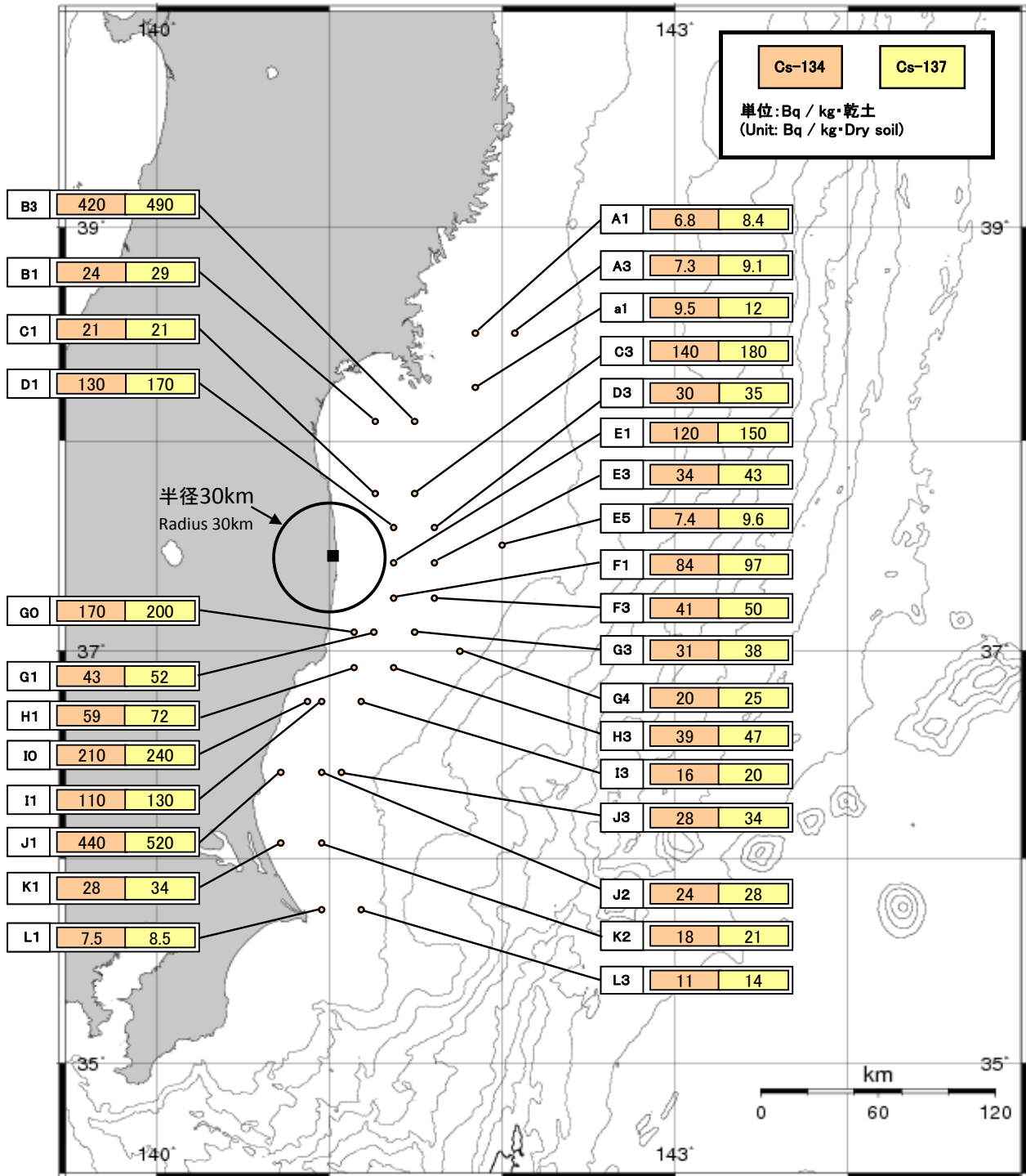
# 海域モニタリング結果

## Readings of Sea Area Monitoring

### 海底土のCs-134及びCs-137の放射能濃度分布

Distribution map of radioactivity concentration of Cs-134 and Cs-137 in marine soil

公表日：平成23年11月1日  
 (Published: Nov 1, 2011)  
 試料採取日：平成23年9月7日～15日  
 (Sampling Date: Sep 7, 2011 – Sep 15, 2011)

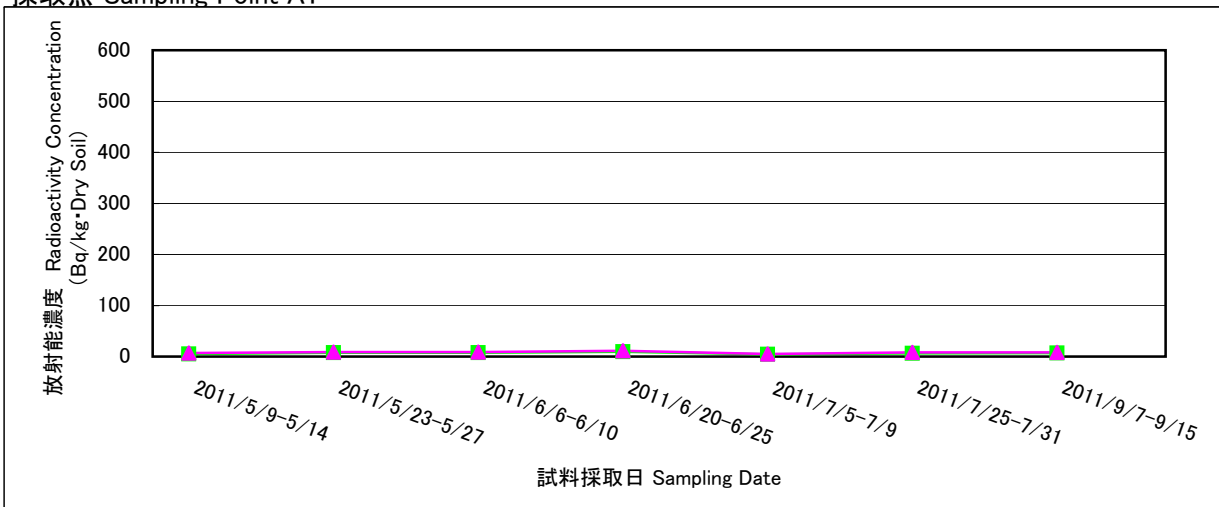


図中の■は東京電力(株)福島第一原子力発電所を示す  
 独立行政法人日本原子力研究開発機構の測定結果より作成。  
 Based on measurements by JAEA.

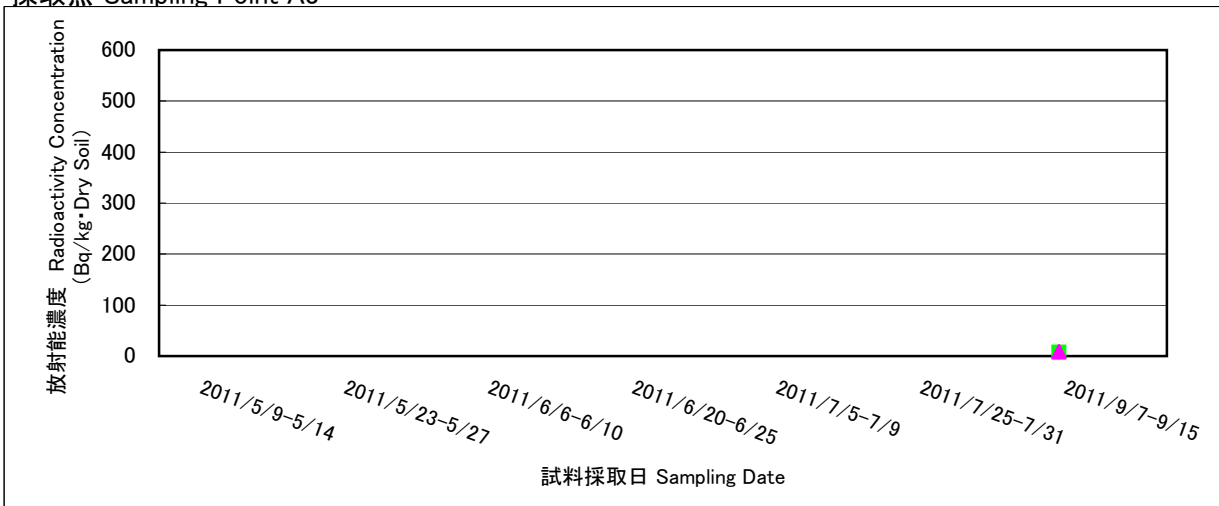
## 海底土のCs-134及びCs-137の放射能濃度の傾向

Trends of radioactivity concentration of Cs-134 and Cs-137 in marine soil

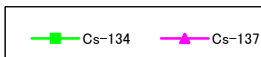
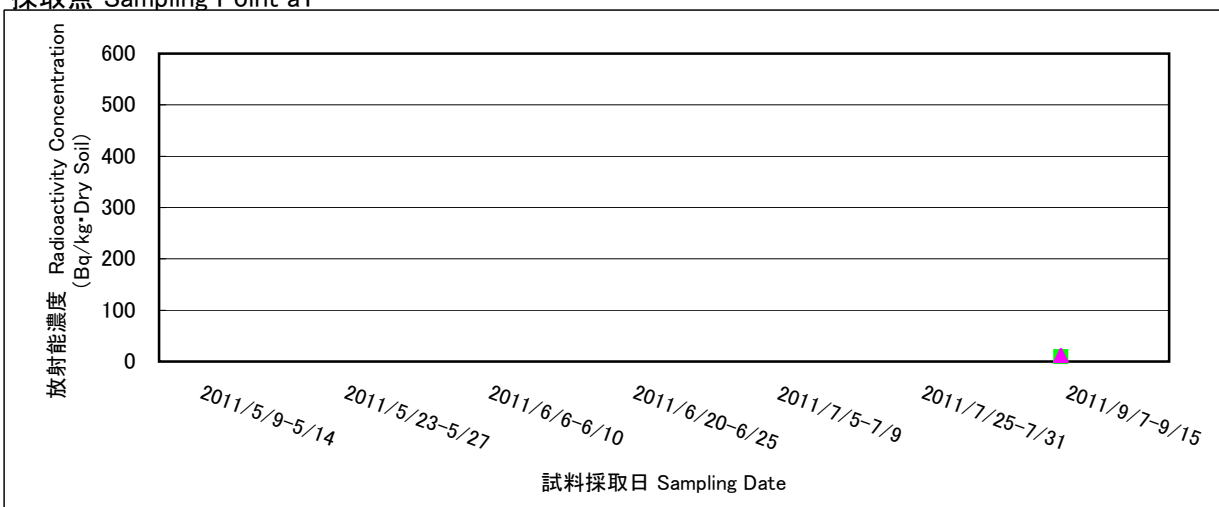
採取点 Sampling Point A1



採取点 Sampling Point A3



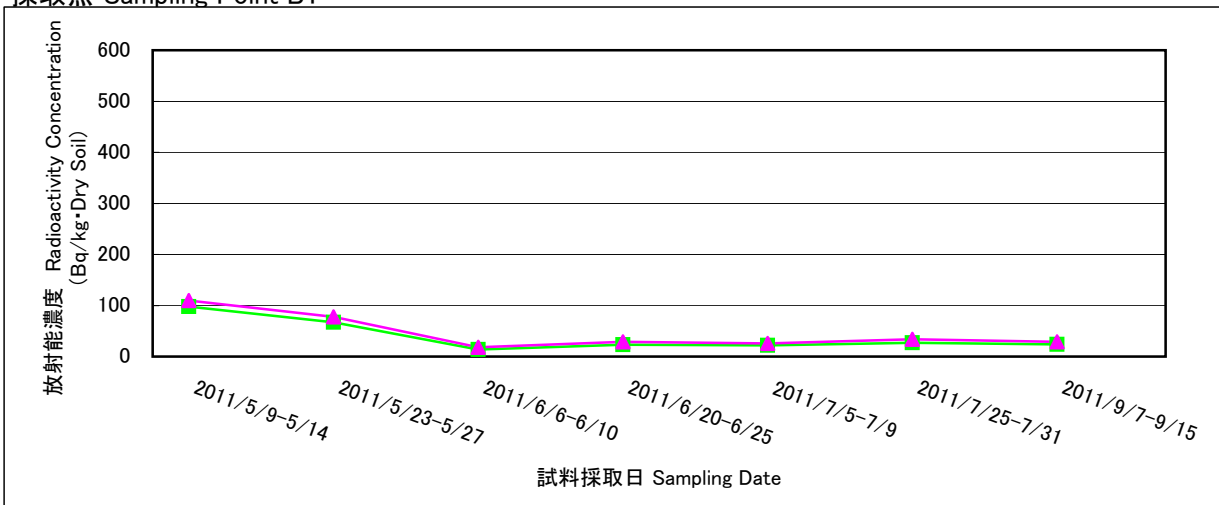
採取点 Sampling Point a1



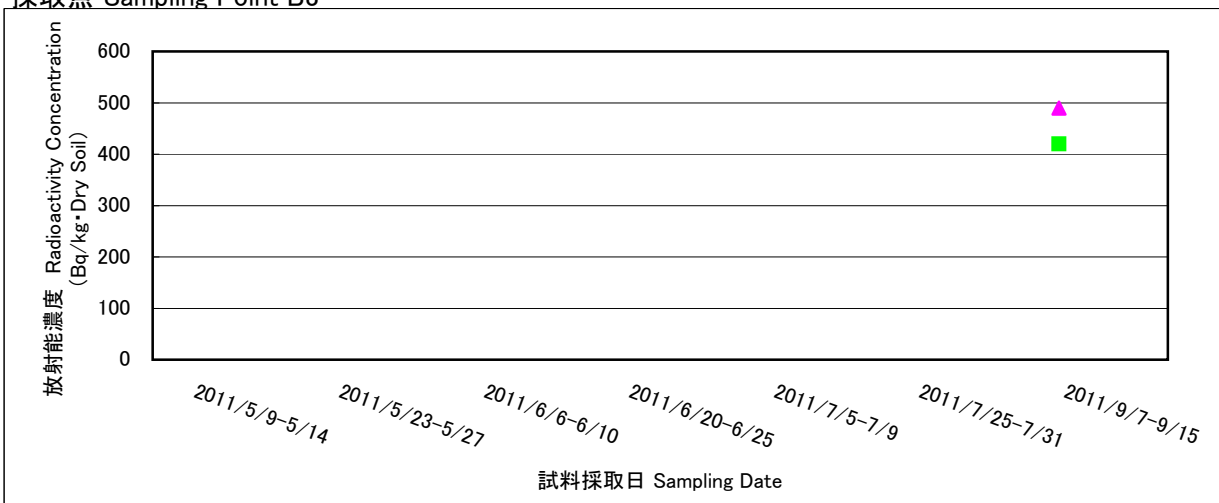
## 海底土のCs-134及びCs-137の放射能濃度の傾向

Trends of radioactivity concentration of Cs-134 and Cs-137 in marine soil

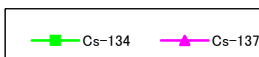
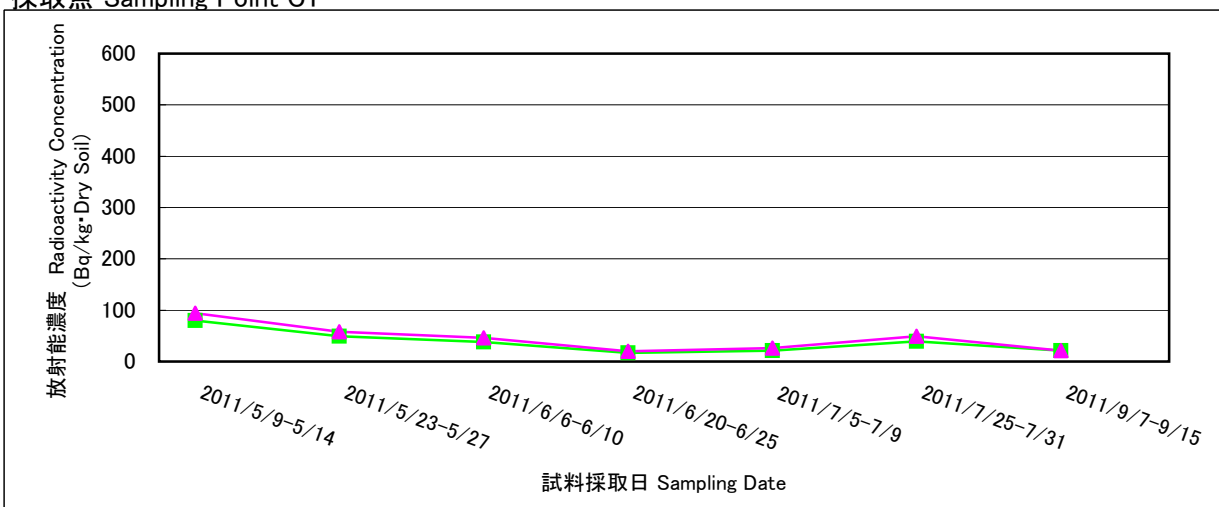
採取点 Sampling Point B1



採取点 Sampling Point B3

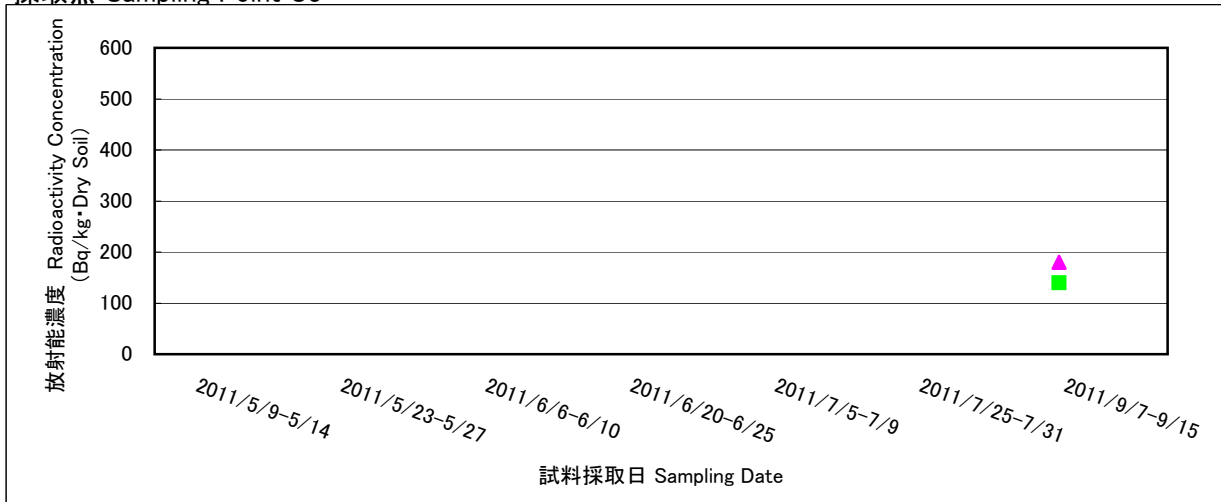


採取点 Sampling Point C1

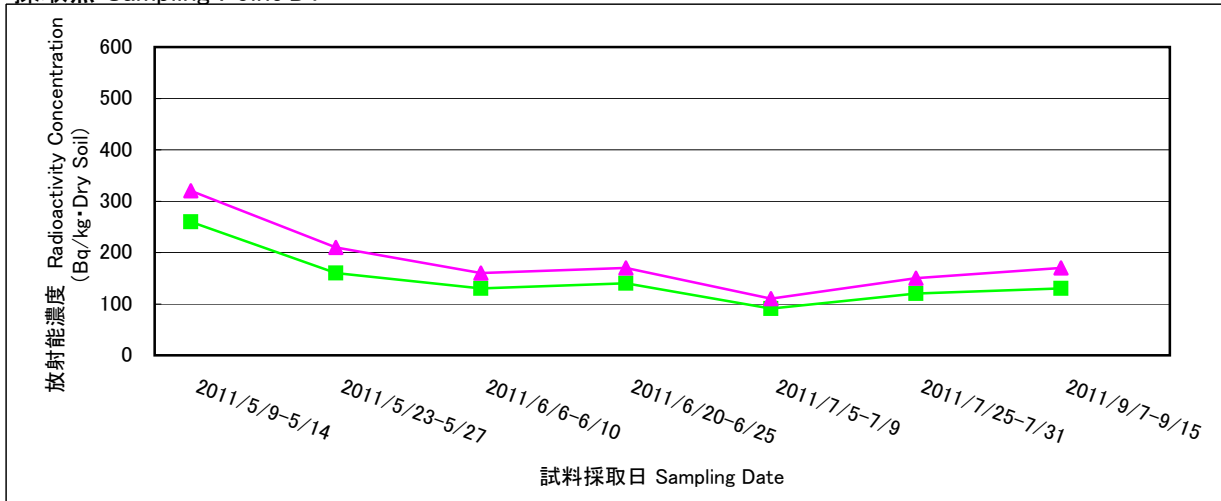


## 海底土のCs-134及びCs-137の放射能濃度の傾向 Trends of radioactivity concentration of Cs-134 and Cs-137 in marine soil

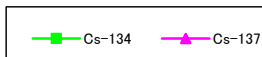
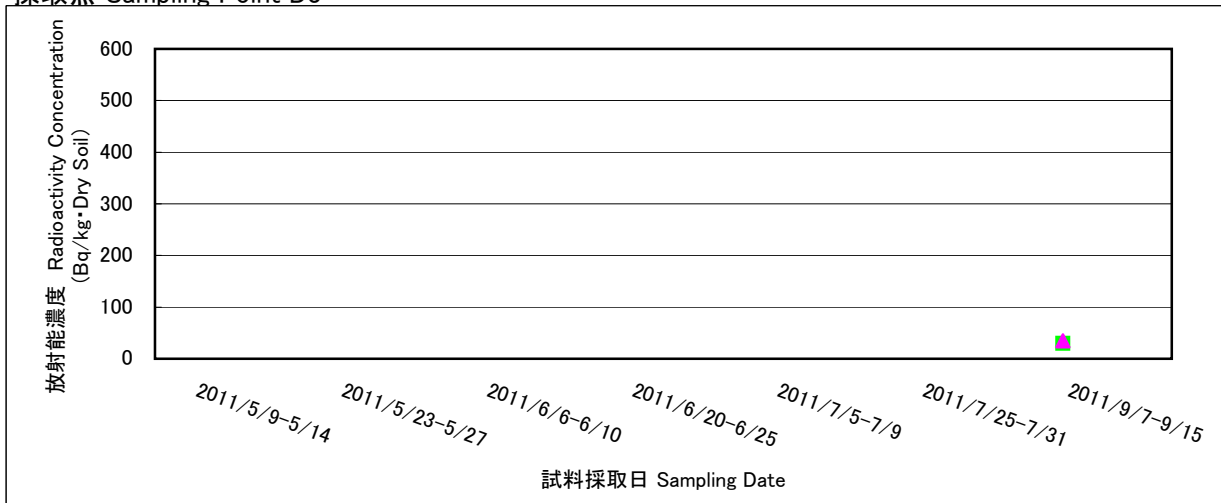
採取点 Sampling Point C3



採取点 Sampling Point D1



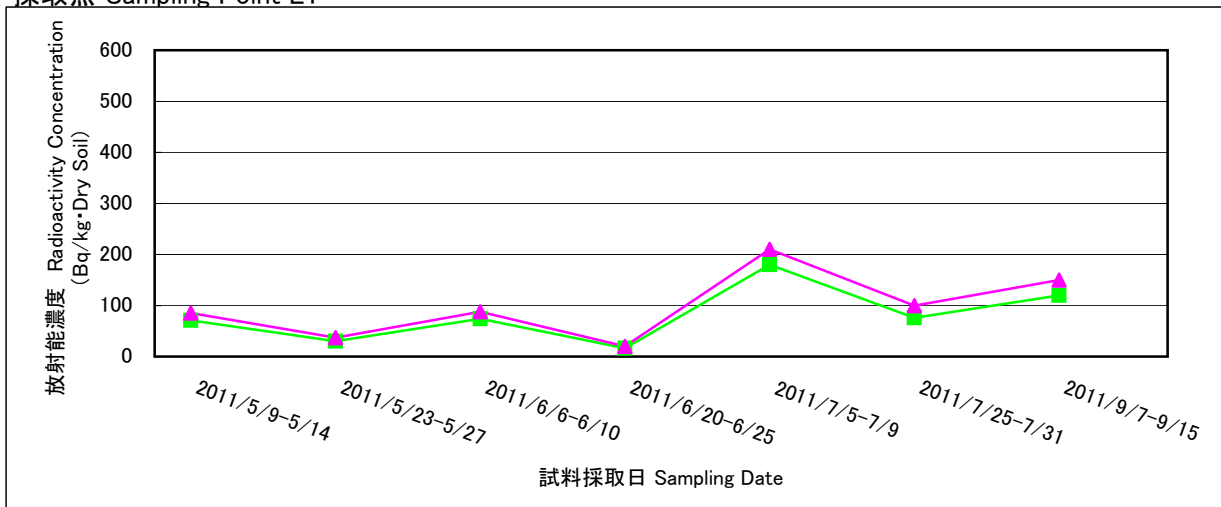
採取点 Sampling Point D3



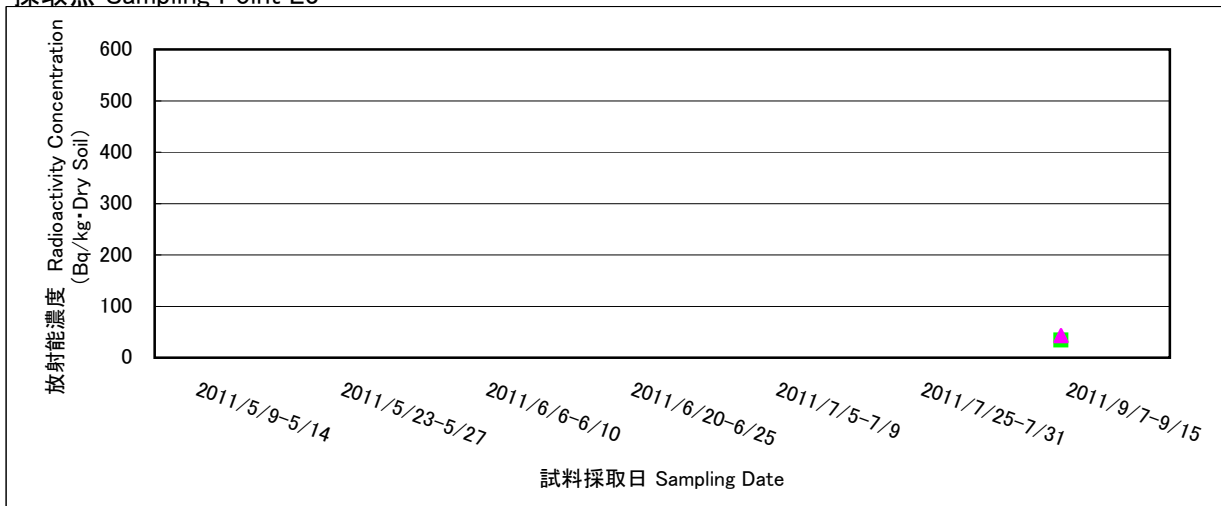
## 海底土のCs-134及びCs-137の放射能濃度の傾向

Trends of radioactivity concentration of Cs-134 and Cs-137 in marine soil

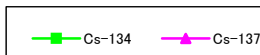
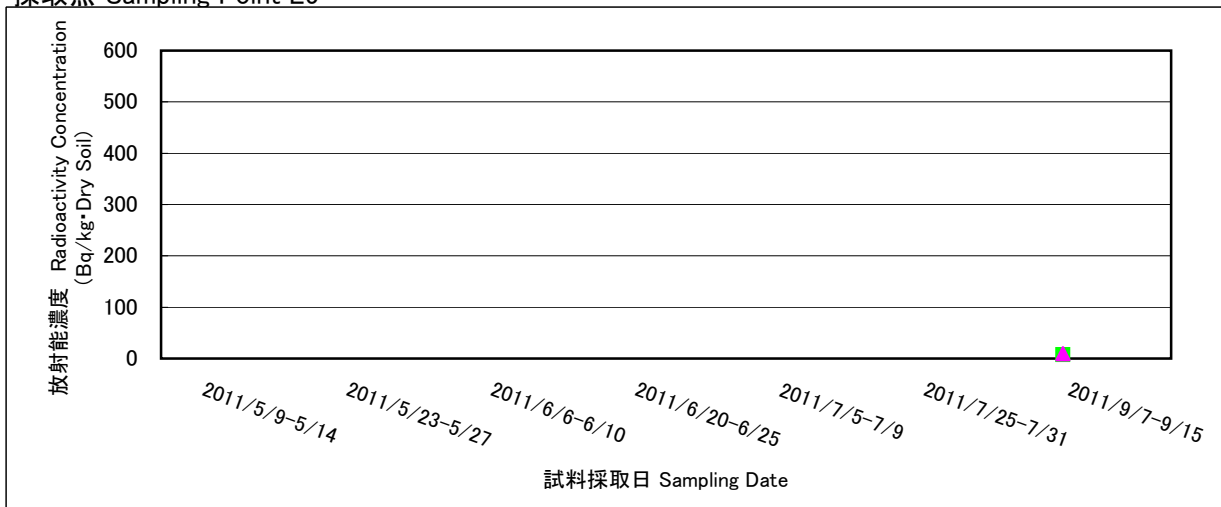
採取点 Sampling Point E1



採取点 Sampling Point E3



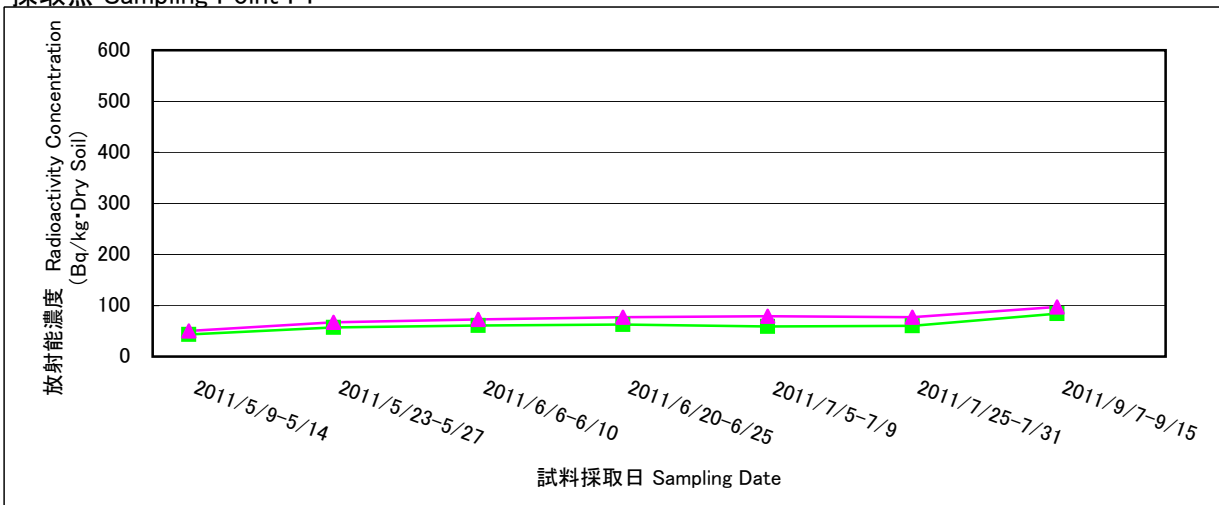
採取点 Sampling Point E5



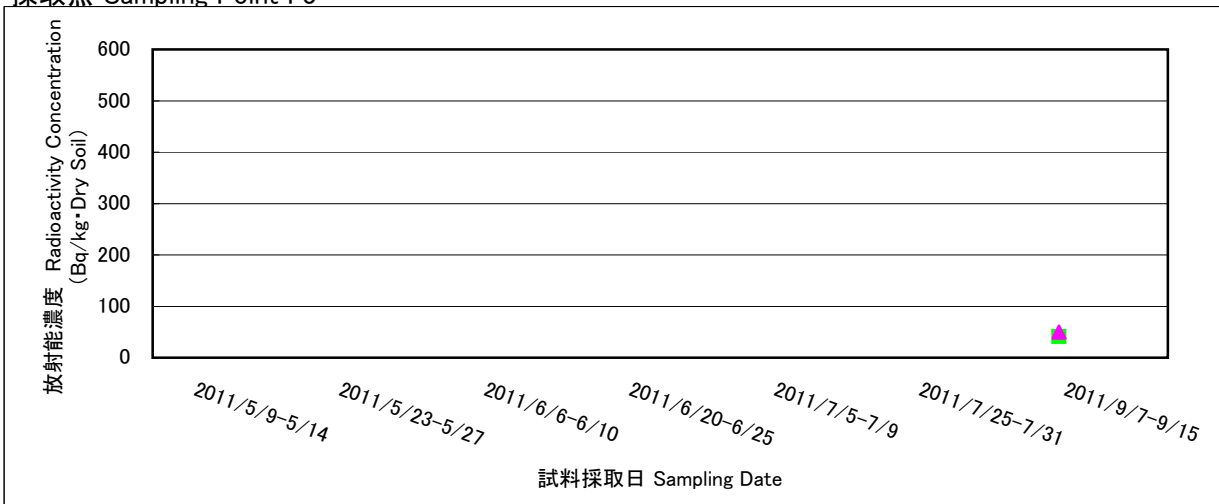
## 海底土のCs-134及びCs-137の放射能濃度の傾向

Trends of radioactivity concentration of Cs-134 and Cs-137 in marine soil

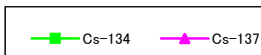
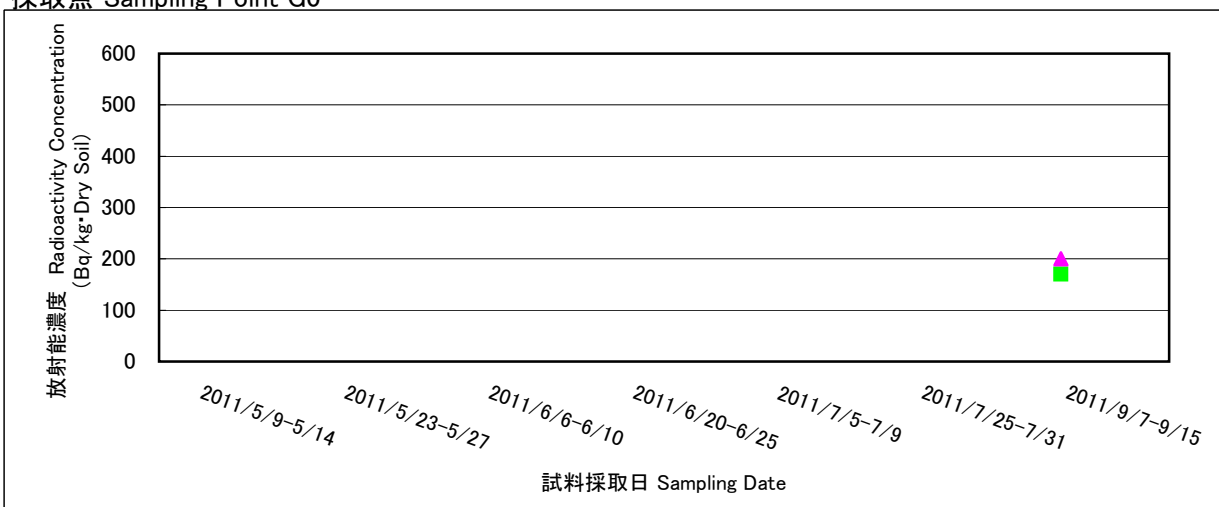
採取点 Sampling Point F1



採取点 Sampling Point F3



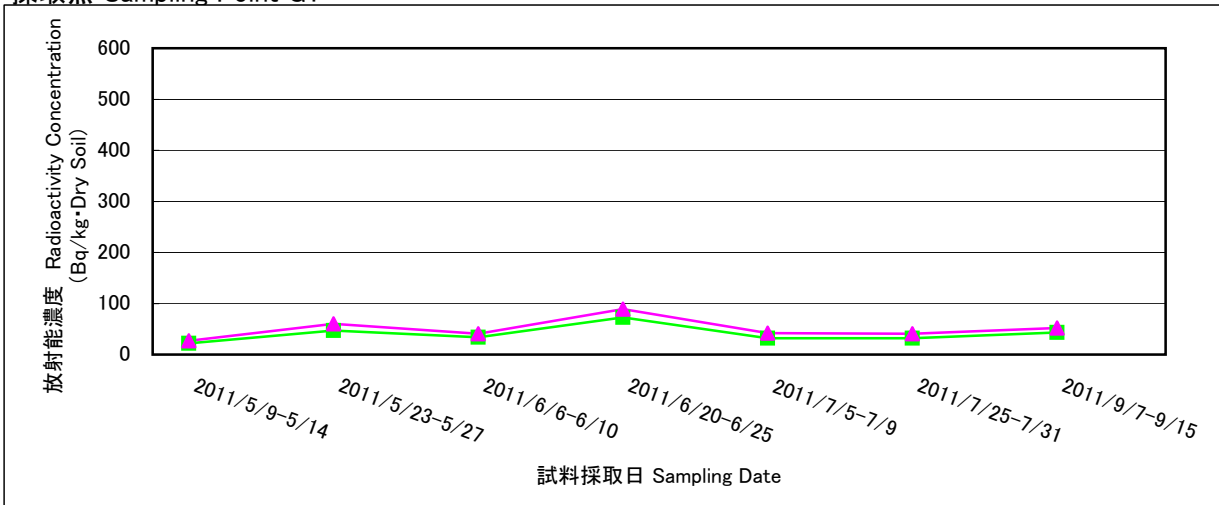
採取点 Sampling Point G0



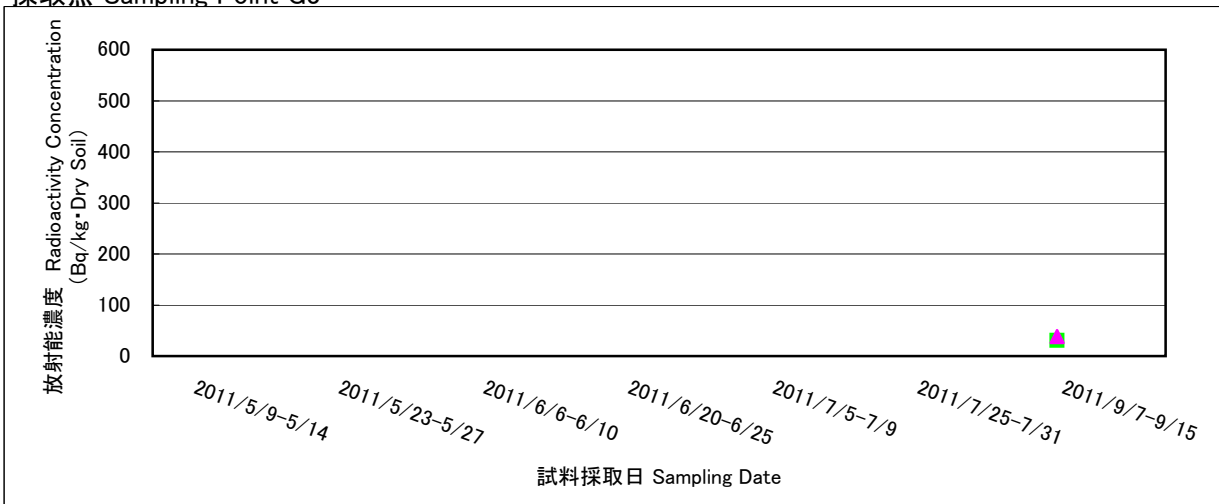
## 海底土のCs-134及びCs-137の放射能濃度の傾向

Trends of radioactivity concentration of Cs-134 and Cs-137 in marine soil

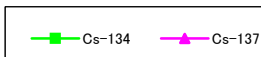
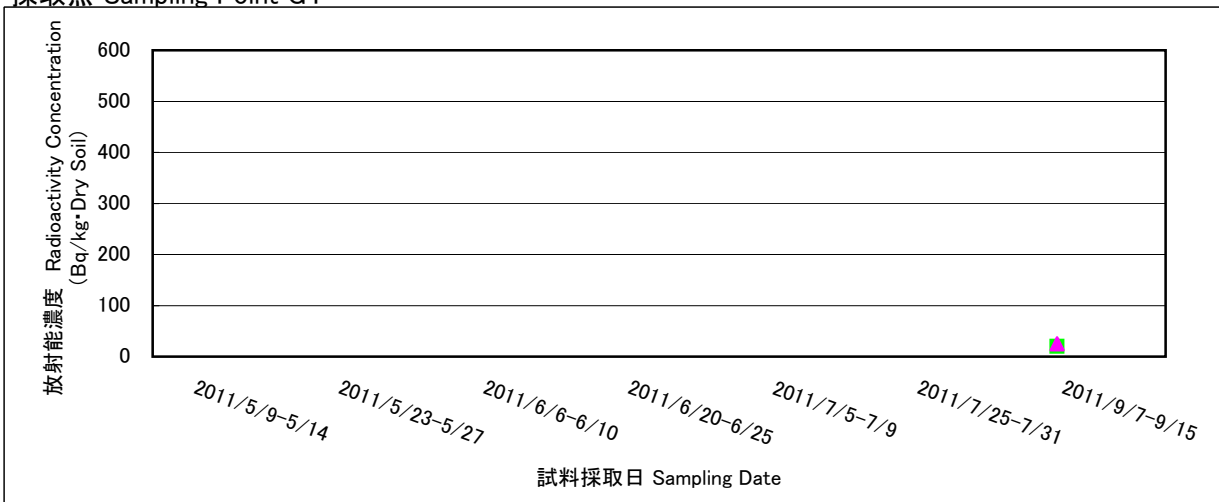
採取点 Sampling Point G1



採取点 Sampling Point G3



採取点 Sampling Point G4

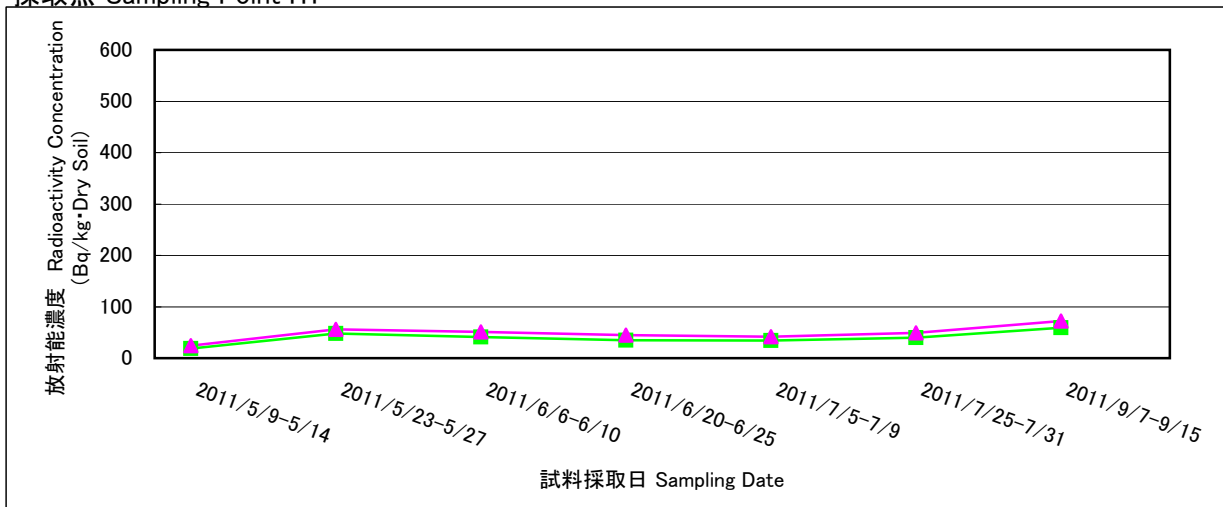




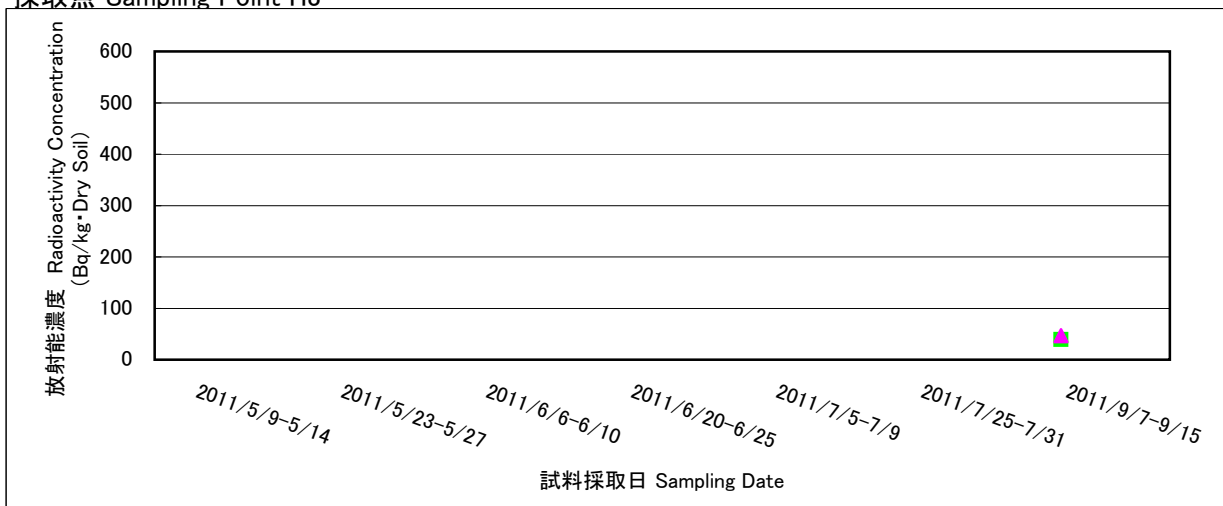
## 海底土のCs-134及びCs-137の放射能濃度の傾向

Trends of radioactivity concentration of Cs-134 and Cs-137 in marine soil

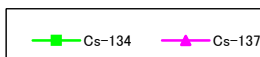
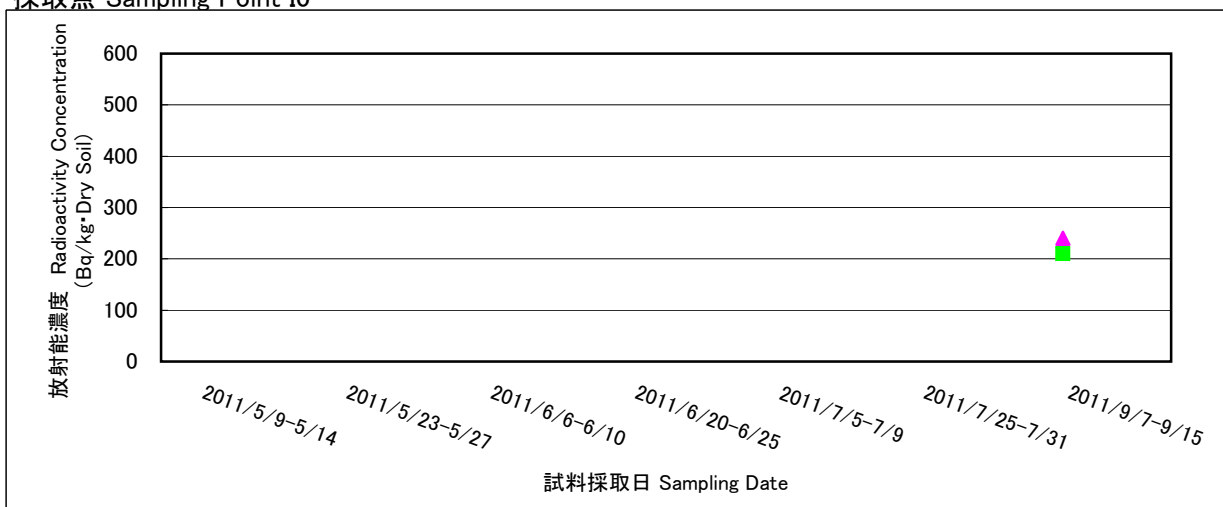
採取点 Sampling Point H1



採取点 Sampling Point H3



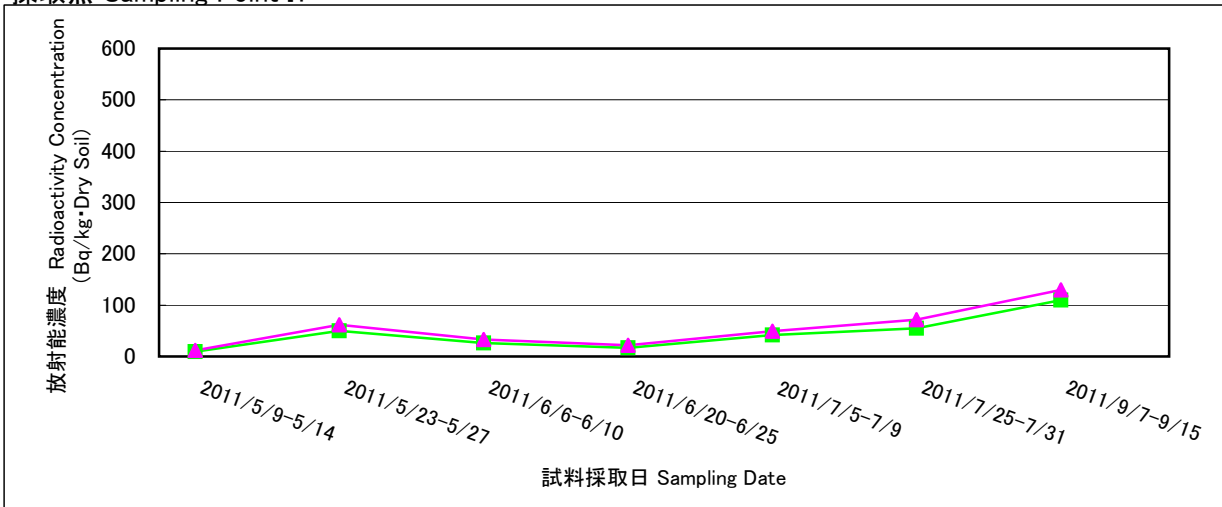
採取点 Sampling Point I0



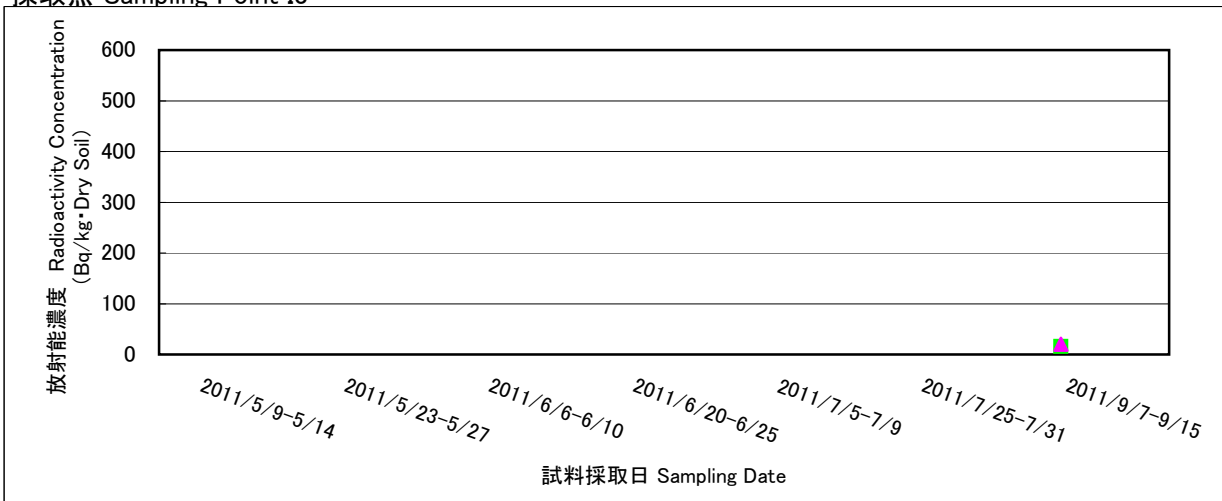
## 海底土のCs-134及びCs-137の放射能濃度の傾向

Trends of radioactivity concentration of Cs-134 and Cs-137 in marine soil

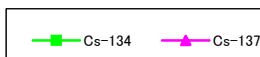
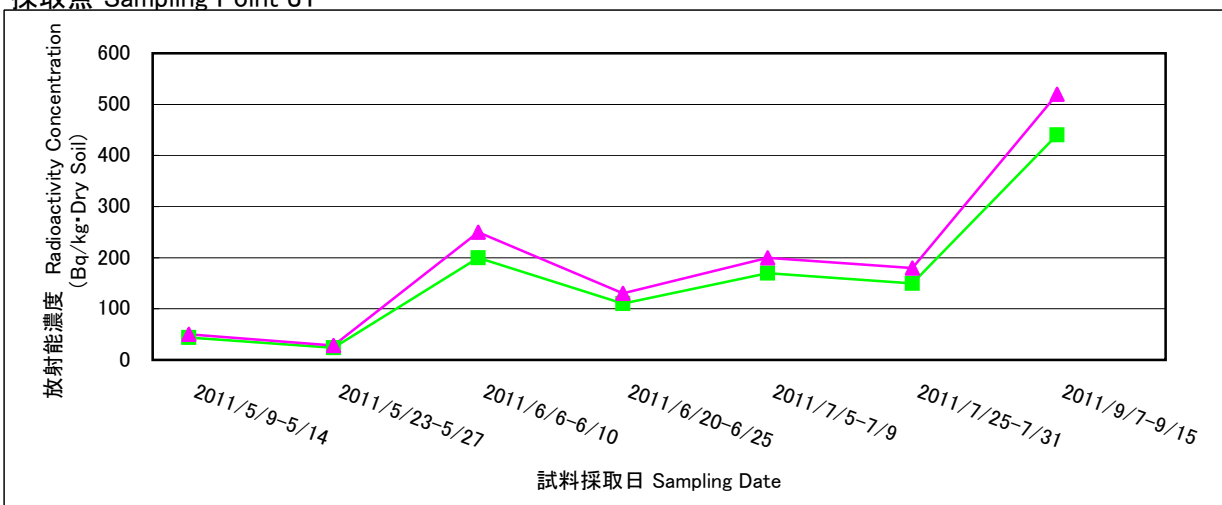
採取点 Sampling Point I1



採取点 Sampling Point I3



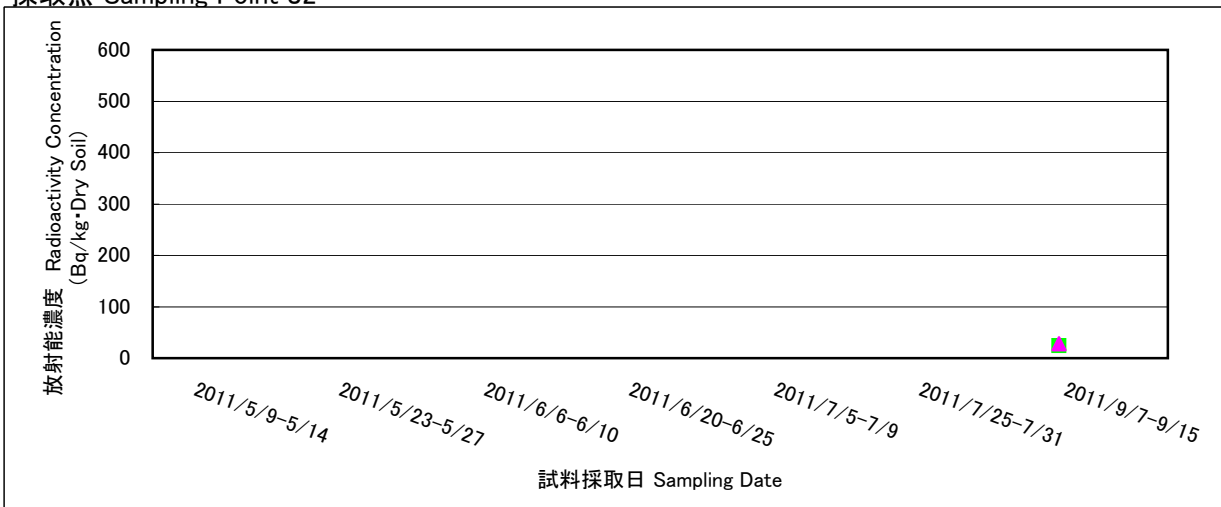
採取点 Sampling Point J1



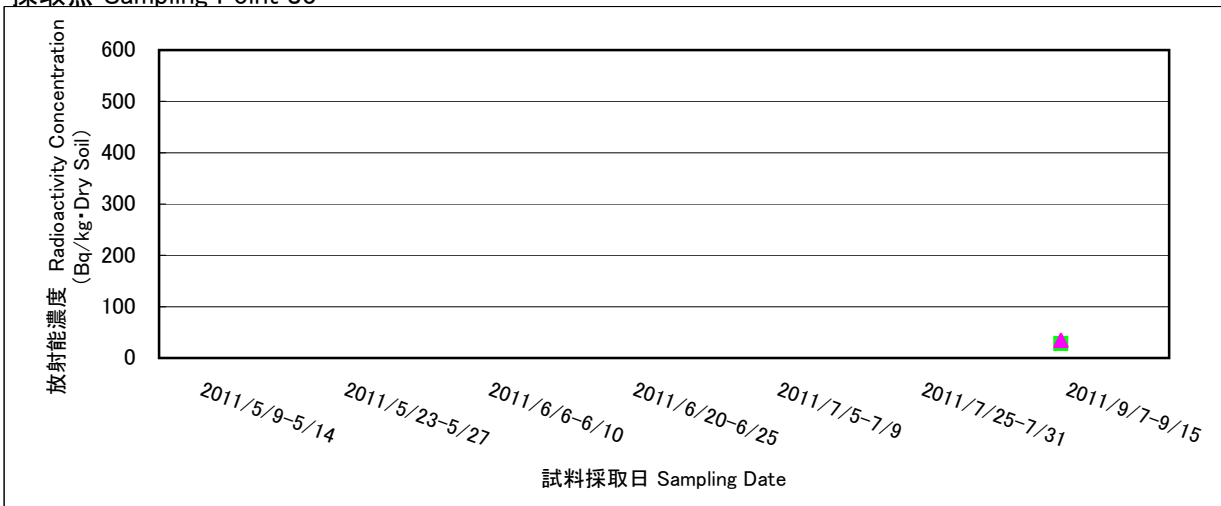
## 海底土のCs-134及びCs-137の放射能濃度の傾向

Trends of radioactivity concentration of Cs-134 and Cs-137 in marine soil

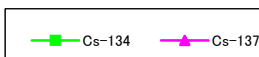
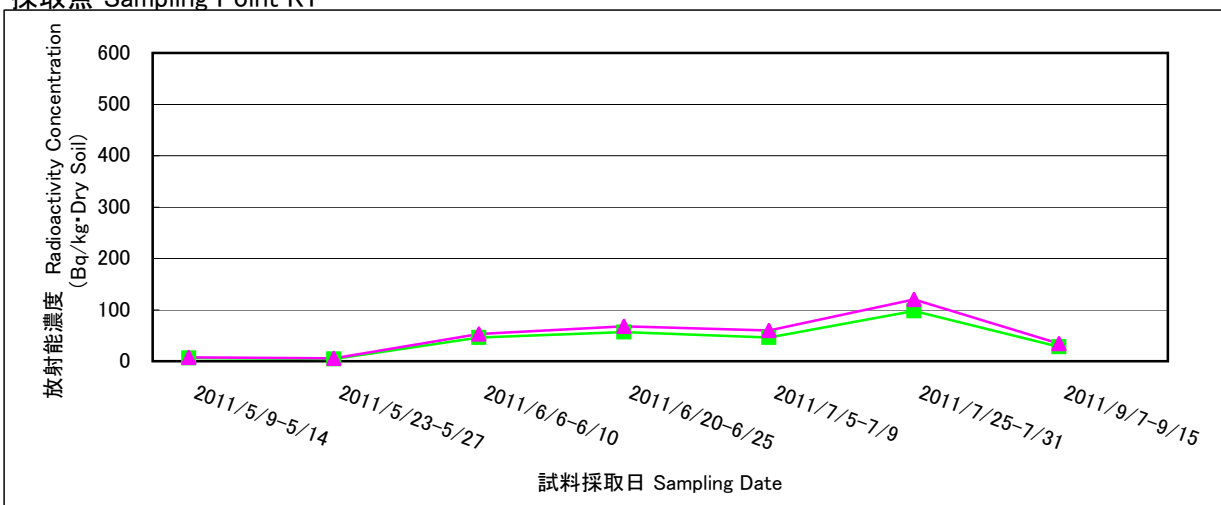
採取点 Sampling Point J2



採取点 Sampling Point J3



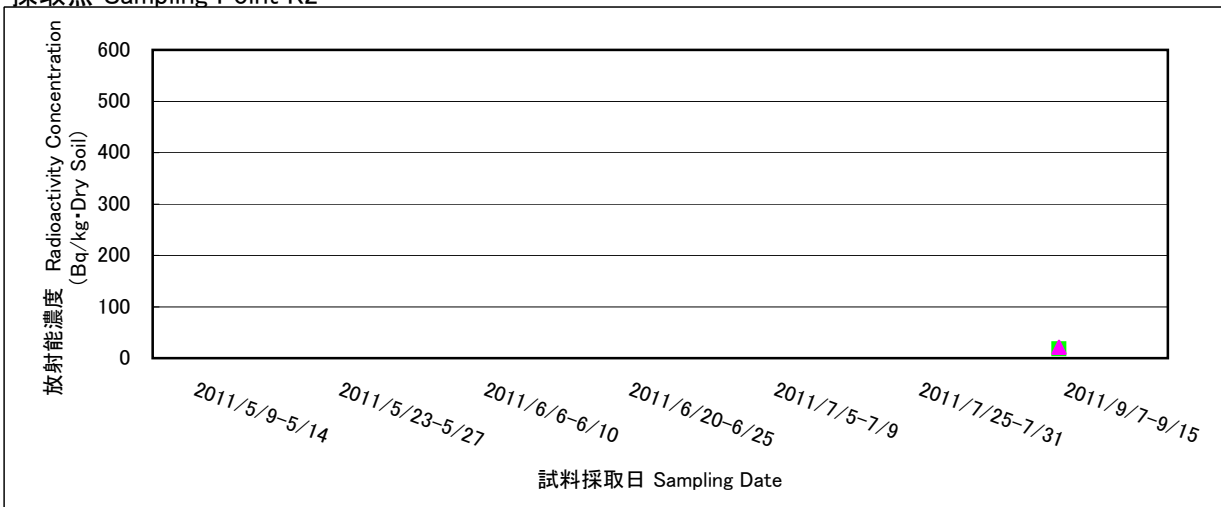
採取点 Sampling Point K1



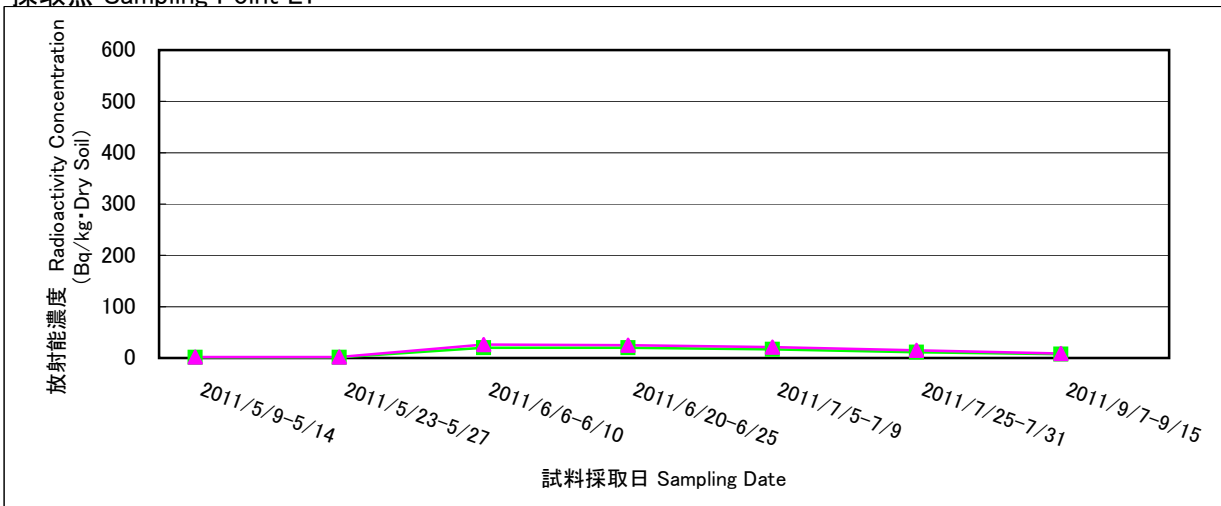
## 海底土のCs-134及びCs-137の放射能濃度の傾向

Trends of radioactivity concentration of Cs-134 and Cs-137 in marine soil

採取点 Sampling Point K2



採取点 Sampling Point L1



採取点 Sampling Point L3

